



GEOPRIN, S.A.

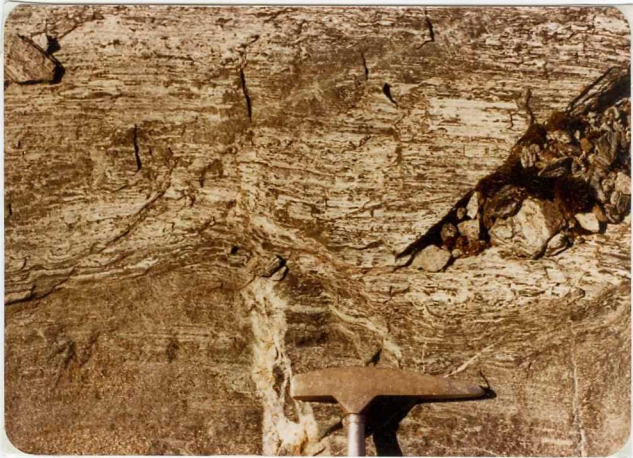
ALBUM DE FOTOGRAFIAS

ALBUM DE FOTOGRAFIAS

HOJA DE LA ESTRADA (05-08/121)



05-08/GP/EK-332 Anfibolita en copos (ξA_1), Unidad de Lalín



05-08/GP/EK-333 Idem. anterior, con pasos a anfibolita bandeada.
Vetillas discordantes de plagioclasa.



05-08/GP/EK-334 Diatexita nebulítica. Unidad de los metatexitas y diatexitas (Ψ^2).



05-08/GP/ĒK-335 Idem. anterior.



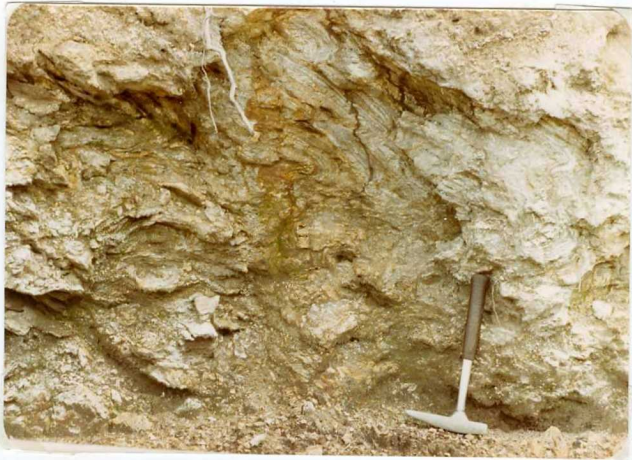
05-08/GP/EK-336 Granito de dos micas del tipo $3-4\gamma^2_{mb}$ incluyendo y asimilando restos de esquistos micáceos con micropliegues atribuibles a la fase F_2 (herc.). Unidad de los metatexitas y diatexitas (ψ^2).



05-08/GP/EK-337 Lentes de cuarzo algo sigmoidales indicando pliegues asimétricos con flanco reducido probablemente asociados a movimientos horizontales a lo largo de la Falla marginal. Unidad de los Esquistos y paraneises (PC-S) del Dominio exterior, cerca de la Falla marginal.



05-08/GP/EK-338 Pliegue tumbado de F_2 (?), sin foliación acompañante, en metatexitas con capas de roca calcosilicatada. Unidad de los metatexitas y diatexitas (Ψ^2).



05-08/GP/EK-339 Micropliegues con plano axial subhorizontal y sin foliación acompañante (¿F₂ herc.?). Unidad de los metatexitas y diatexitas (Ψ^2).



05-08/GP/EK-340 - Paso gradual entre anfibolita con textura gabbroidea (a la derecha) y anfibolita bandeada - (a la izquierda). Unidad de las anfibolitas de rivadas en su mayor parte de rocas gabroideas, esencialmente en facies de los esquistos verdes (ξA_{01}).



05-08/GP/EK-341 Idem. anterior.



05-08/PG/EK-342 Dique de anfíbolita (ξA_2) en "Ortoneis de So---brado" ($N \gamma M$) algo glandular.



05-08/GP/EK-343 Ortoneis biotítico (N_{P}^{1}), variedad de grano medio a fino. Unidad de Lalín.



05-08/GP/EK-344 Idem.² anterior, con filón de granito de dos micas
($3-4 \gamma_{mb}^2$).



05-08/GP/EK-345 *Ortoneis glandular* ($GN \eta^1_b$) ("Ortoneis de Merza").



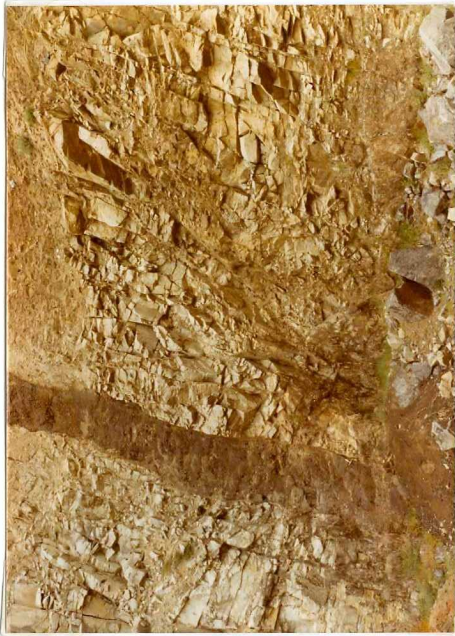
05-08/GP/EK-346 Idem. anterior.



05-08/GP/EK-347 Idem. anterior.



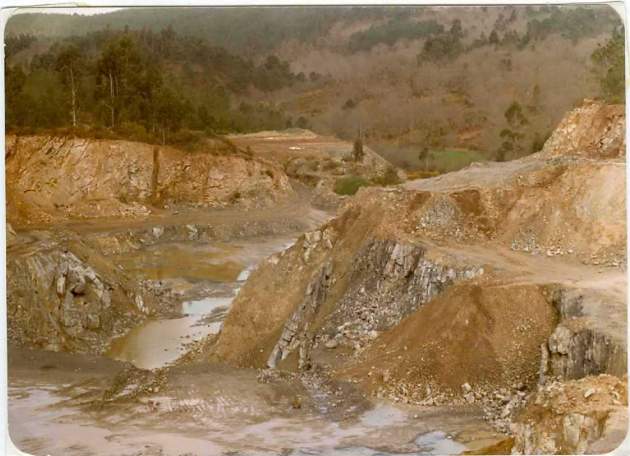
05-08/GP/EK-348 Idem. anterior, más triturado, con matriz oscura casi afanítica y porfiroclastos xenomórficos.



05-08/GP/EK-349 Dique de roca básica (ϵ^3) en granito de dos mi-
cas fuertemente diaclasado del tipo 3-4 γ^2 mb.
Cantera en serpentinita, Campo Marzo.



05-08/GP/EK-350 Idem.- anterior .



05-08/GP/EK-351 Cantera activa en serpentinita (M₅₀), Campo --
Marzo. Al fondo de la cantera intrusión de gra
nito de dos micas del tipo $3-4 \gamma^2_{mb}$ con dique -
de roca básica (ϵ^3).



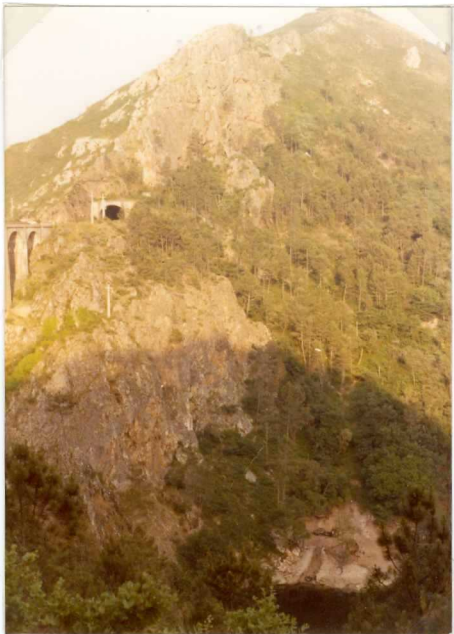
05-08/GP/EK-352 Idem. anterior. Nótese el sistema de diaclasas poco espaciado.



05-08/GP/EK-353 Planta para la producción de áridos de trituración, utilizando como materia prima la serpentina (M₅₀) de la cantera de las fotografías 351 y 352.



05-08/GP/EK-354 Idem. anterior. A la izquierda trincheras del ferrocarril Santiago-Oreense, con muelle de carga.



05-08/GP/EK-355 Filón de cuarzo a lo largo de la Falla marginal. Túnel del ferrocarril Santiago-Orense y parte del puente sobre el río Ulla. En el primer plano el río y una pequeña gravera.



05-08/GP/EK-356 Ensanche en el cauce del río Deza donde éste -
entra el área con Esquistos verdes derivados -
en gran parte de vulcanitos básicos (PC-S₁) --
fuertemente alterados (campos). A la derecha -
gravera (dragado desde la orilla), a la izquier
da rocas del ortoneis glandular de Merza (GN^I_b).



05-08/GP/EK-357 "Salto de Merza". En el primer plano el río Deza fuertemente encajado. Al fondo la cascada en el río Toja y el crestón de granito de dos micas --
($3-4 \gamma_{mb}^2$).



05-08/GP/EK-358 Cantera activa en el filón de cuarzo que jalona la Falla marginal. Al fondo el Pico Sacro.



05-08/GP/EK-359 Idem. anterior. A la derecha el Complejo de Ordenes s.l. (tierras rojizas derivadas de anfibolitas granatíferas ξA_{02}). Nótese la --asimetría en los flancos de la sierra constituida por el filón de cuarzo.